

III-A 95

液状化砂層の最大応答と入力動の大きさ

奥村組 技術研究所 正会員 日下部 伸
奥村組 電算センター 正会員 森尾 敏

表-1 正規化粒度砂の諸元

砂の種類	e^*_{\max}	e^*_{\min}	間隙比幅	$\rho_s (\text{g/cm}^3)$
豊浦：ぎざ無し	0.975	0.607	0.368	2.645
若狭：ぎざ有り	1.218	0.747	0.471	2.705

シリーズ1	シリーズ2
M1:線形弾性計算	0 (a) M1:線形弾性計算
M2:線形弾性計算	1 M2:線形弾性計算
S1:オンライン実験	4
S2:オンライン実験	6 S2:オンライン実験
S3:オンライン実験	9 M4:線形弾性計算
S4:オンライン実験	12 M5:線形弾性計算
S5:オンライン実験	15 M6:線形弾性計算
S6:オンライン実験	18 (a) M7:線形弾性計算

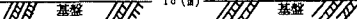


図-1 サブストラクチャ・オンライン実験

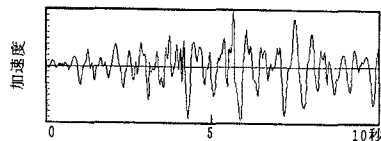


図-2 加速度波形

表-3 解析条件（シリーズ2）

深度 (m)	土層分割	湿潤密度 (t/m^3)	せん断剛性 G (kNf/cm^2)
0~1 (1) M1	1.8	$\sigma' v$	$\sigma' H$
1~2 (2) M2	1.8		
2~4 (3) S1	1.9	0.450 0.225	49 0.795 49 0.794 51 0.978
4~6 (4) S2	1.9	0.630 0.315	50 0.791 51 0.789 52 0.973
6~9 (5) S3	1.9	0.655 0.428	47 0.802 47 0.801 52 0.973
9~12 (6) S4	1.9	1.125 0.563	49 0.796 49 0.795 50 0.982
12~15 (7) S5	1.9	1.395 0.689	52 0.784 54 0.773 52 0.973
15~18 (8) S6	1.9	1.665 0.833	50 0.791 50 0.790 51 0.978

表-4 実験条件（シリーズ2）

砂の種類	相対密度 (%)	入力加速度 (gal)
豊浦・ぎざ無し	53	150
若狭・ぎざ有り	45	150
豊浦・ぎざ無し	54	100
若狭・ぎざ有り	50	100
豊浦・ぎざ無し	52	75
若狭・ぎざ有り	51	75

3. 実験結果と考察

オンライン地震応答液状化実験で得られた復元力（せん断応力），加速度応答，速度応答の時刻歴の一例をそれぞれ図-3, 4, 5に示す。

(1) 入力加速度の最大値と τ の関係

入力加速度の最大値とせん断応力 τ の最大値の関係を示した図-6から以下のことことが知れる。砂の堆積環境と密度，初期応力条件が同一の場合，入力加速度の最大値の大きさに関わらず地震応答液状化過程で発揮されるせん断応力の最大値 τ_{\max} は，あまり変化がない様である。この傾向は，ぎざ無しの豊浦砂とぎざ有りの若狭砂について共通である。また，図中に併記したシリーズ1の全層オンライン実験の(a), (b), (c)の同一層のS2の τ_{\max} とも調和的である。これは， τ_{\max} が他の層の挙動の影響を受けにくくことを示唆している。

(2) 入力加速度の最大値と加速度の関係

入力加速度の最大値と加速度の最大値の関係を示した図-7から以下のことことが知れる。入力加速度の最大値の大きさにかかわらず地震応答液状化過程で発揮される加速度の最大値は，あまり変化がない様である。この傾向は，ぎざ無しの豊浦砂とぎざ有りの若狭砂について共通である。また，図中に併記した全層オンライン実験の(a), (b), (c)の同一層のS2の加速度の最大値とも調和的である。これは，液状化に至る過程での加速度の最大値が他の層の挙動の影響を受けにくくことを示唆している。加速度の最大応答倍率は，75gal入力時で1.2, 100gal入力時で1.0, 150gal入力時で0.7であり，入力加速度が大きくなるほど加速度の最大応答倍率は小さくなる結果が得られた。

(3) 入力加速度の最大値と速度の関係

入力加速度の最大値と速度の最大値の関係を示した図-8から以下のことことが知れる。せん断応力と加速度の最大値は入力加速度の最大値によらずほぼ一定であった。これに対し，速度の最大値は入力加速度の最大値の大きさに応じて大きくなる様である。この傾向は，ぎざ無しの豊浦砂とぎざ有りの若狭砂について共通である。また，図中に併記した全層オンライン実験の(a), (b), (c)の同一層のS2の速度の最大値もやや大きな値となっており，せん断応力と加速度の傾向とはやや異なる結果となっている。

4. まとめ

入力動の大きさと液状化砂層が地震中に発揮し得る最大応答値との関係について検討を加え，以下の結果を得た。

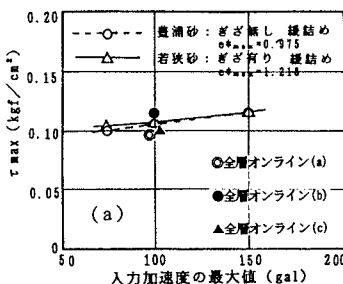
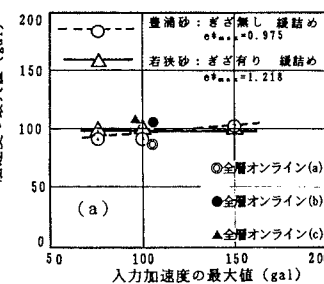
図-6 τ_{\max} 

図-7 加速度の最大値

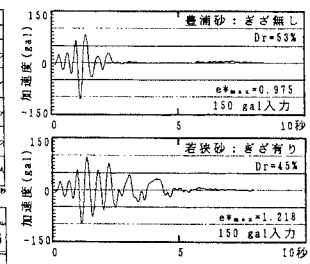


図-4 加速度の時刻歴

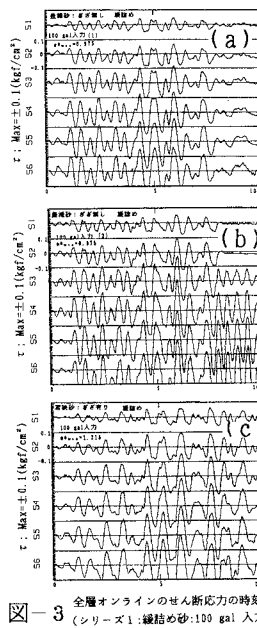
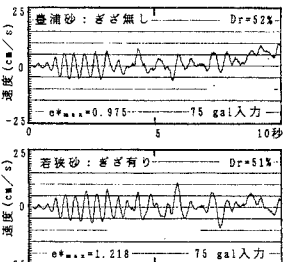
図-3 全層オンラインのせん断応力の時刻歴
(シリーズ1: 繼結め砂: 100 gal 入力)

図-5 速度の時刻歴

せん断応力と加速度の最大値は入力加速度の最大値によらずほぼ一定であるのに対し，速度の最大値は入力加速度の最大値の大きさに応じて大きくなる様である。この傾向は，ぎざ無しの豊浦砂とぎざ有りの若狭砂について共通である。

参考文献

- Kusakabe, S. and Morio, S.: The Development of a Substructure On-Line Testing System for Seismic Response Analysis of a Geotechnical System, Soils and Foundations, Vol. 35, No. 2, pp. 117~125, 1995.
- 日下部 伸・森尾 敏：粒子表面形状が異なる砂の地震応答液状化抵抗，土木学会論文集，No. 517／III-31, pp. 149~158, 1995.
- 日下部 伸・森尾 敏・兵動 正幸・村田 秀一：砂粒子表面形状が非排水ねじり単純せん断時の変相線と破壊線に及ぼす影響，土木学会論文集III（登載予定），1996.
- 日下部 伸・森尾 敏：オンライン実験による地震時液状化抵抗と最大応答，「第31回地盤工学研究発表会」，（投稿中），1996.
- （社）土質工学会：地盤と土構造物の地震時の挙動に関する研究委員会，シンポジウム論文集，pp. 50～61, 1989.

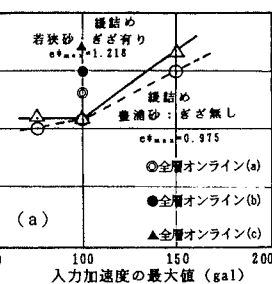


図-8 速度の最大値